

## مطالعه اثرات محافظتی عصاره الكلی سیاهدانه، در مقابل سمیت کبدی ریفامپین در موش صحراایی

مهرداد نشاط قراملکی<sup>۱\*</sup>، داریوش مهاجری<sup>۲</sup>

### چکیده

**زمینه و هدف:** داروی ضد سل ریفامپین، برای کبد سمی است. این مطالعه با هدف تعیین اثرات پیشگیرانه عصاره سیاهدانه (*Nigella sativa Linn*) از سمیت کبدی ریفامپین در موش صحراایی انجام شد.

**روش بررسی:** در این مطالعه تجربی آزمایشگاهی، ۴۰ سر موش صحراایی نر ویستار به طور تصادفی به چهار گروه مساوی تقسیم شدند: ۱- گروه شاهد؛ ۲- گروه داروی سمی؛ ۳- گروه شاهد مثبت و ۴- گروه تحت درمان با عصاره که به ترتیب نرمال سالین، ریفامپین (با دوز ۵۰۰ میلی گرم بر کیلو گرم)، سیلیمارین (با دوز ۵۰ میلی گرم بر کیلو گرم) توأم با ریفامپین و عصاره الكلی سیاهدانه (دوز ۲۵۰ میلی گرم بر کیلو گرم) به علاوه ریفامپین را از طریق گاواز به مدت یک ماه دریافت کردند. در پایان، سطح سرمی آلانین آمینو ترانسفراز، آسپارتات آمینو ترانسفراز، آلکالین فسفاتاز، بیلریوبین، آلبومین و پروتئین موش‌ها اندازه‌گیری شد. میزان مالون دی‌آلدید و فعالیت سوپراکسید دیسموتاز، کاتالاز، گلوتاتیون پراکسیداز و گلوتاتیون ردوکتاز کبد اندازه‌گیری شد. آسیب‌شناسی بافتی جهت ارزیابی درجات مختلف آسیب کبد انجام گرفت. گروه‌ها با آزمون آماری آنالیز واریانس یک‌طرفه و آزمون تعقیبی توکی مقایسه شدند.

**یافته‌ها:** سیلیمارین و عصاره سیاهدانه به طور معنی داری میزان سرمی آنزیم‌های شاخص عملکرد کبد، بیلریوبین و میزان مالون دی‌آلدید کبد را کاهش و سطوح آلبومین، پروتئین سرم و سطوح کبدی آنزیم‌های آنتی‌اکسیدانی را در موش‌های تیمارشده با ریفامپین افزایش داد ( $p < 0.01$ ). در آسیب‌شناسی بافتی، سیلیمارین و عصاره سیاهدانه، آسیب ناشی از ریفامپین را بهبود بخشید. نتایج هیستوپاتولوژی با یافته‌های بیوشیمیایی هم راستا بود.

**نتیجه‌گیری:** طبق نتایج این مطالعه، عصاره سیاهدانه با خواص آنتی‌اکسیدانی، کبد را در برابر آسیب اکسیداتیو ناشی از ریفامپین محافظت می‌کند.

**کلید واژه‌ها:** سیاهدانه؛ ریفامپین؛ کبد؛ آنتی‌اکسیدان‌ها؛ موش صحراایی.

لطفاً به این مقاله به صورت زیر استناد نمایید:

Neshat Gharamaleki M, Mohajeri D. The study of the protective effect of black cumin (*nigella sativalinn.*)ethanolic extract against rifampin-induced hepatotoxicity in rats. Qom Univ Med Sci J 2015;8(5):73-84.

استادیار بیماری‌های داخلی، دانشکده دامپزشکی، واحد تبریز، دانشگاه آزاد اسلامی، تبریز، ایران.

استاد پاتولوژی، دانشکده دامپزشکی، واحد تبریز، دانشگاه آزاد اسلامی، تبریز، ایران.

\* نویسنده مسئول مکاتبات:

مهرداد نشاط قراملکی، دانشکده دامپزشکی، واحد تبریز، دانشگاه آزاد اسلامی، تبریز، ایران؛

آدرس پست الکترونیکی:

neshatpetvet@yahoo.com

تاریخ دریافت: ۱۲/۱۱/۹۲

تاریخ پذیرش: ۲۷/۱/۹۳

## مقدمه

اثرات جانبی بسیار اندکی در روی بیماران به جای می‌گذارند. بنابراین، جستجو برای یافتن دارویی مفید با مشتاً گیاهی در پیشگیری از سمیت کبدی ریفامپین از اهمیت بالینی ویژه‌ای برخوردار است (۸). سیاهدانه (*Nigella sativa Linn.*) از خانواده آلاله (*Ranunculaceae*) به طور معمول به عنوان دانه سیاه در طب سنتی شناخته شده است. در هند، کشورهای عربی، اروپا و ایران از دانه یا روغن آن به طور سنتی در درمان بیماری‌هایی مانند آسم، فشار خون، دیابت، التهاب، تومور، سرفه، برونشیت، سردرد، اگزما، تب، سرگیجه، اختلالات گوارشی، ناتوانی جنسی و آنفلوآنزا استفاده می‌شود، همچنین به عنوان داروی ضدنفخ، مدرء، شیرافرا، قاعده‌آور و ضدانگل نیز کاربرد دارد (۹). اثرات سودمند این بذر گیاهی و یا ترکیبات آن، طی مطالعات متعدد بالینی، به ویژه تجربی نشان داده شده است که از جمله می‌توان به اثرات آنتی‌اسیدان (۱۰)، ضدالتهابی (۱۱) و ضدسرطانی (۱۲) آن اشاره نمود. روغن سیاهدانه و تیموکینون (یکی از ترکیبات آلکالوئیدی مؤثر در سیاهدانه) از طریق غیرآنژیماتیک؛ پراکسیداسیون چربی‌ها را در لیپوزوم مهار می‌کند (۱۳). ترکیبات دیگر سیاهدانه مانند کینون، کارواکرول، تی‌آنتول و ۴-ترپینول در اتصال رادیکال‌های آزاد به یکدیگر فوق العاده مؤثر هستند (۱۴). با توجه به اثرات مفید و متعدد درمانی سیاهدانه، به خصوص اثرات آنتی‌اسیدانی آن، گمان می‌رود عصاره بذر این گیاه بتواند بافت کبد را در برابر سمیت کبدی ریفامپین در موش صحرایی محافظت کند. در هر صورت با توجه به بررسی منابع، مطالعه‌ای در رابطه با اثرات محافظتی عصاره الکلی سیاهدانه در برابر سمیت کبدی ریفامپین یافت نشد. بنابراین، این مطالعه با هدف تعیین اثرات آنتی‌اسیدانی و محافظت از کبدی عصاره الکلی بذر سیاهدانه در برابر سمیت کبدی ریفامپین در موش صحرایی صورت گرفت.

## روش بررسی

مطالعه حاضر به روش تجربی (سال ۱۳۹۲) در مرکز تحقیقات دانشگاه آزاد اسلامی تبریز انجام شد. در این مطالعه، تمام ملاحظات اخلاقی و پروتکل‌های کار روی حیوانات آزمایشگاهی توسط کمیته نظارت بر حقوق حیوانات آزمایشگاهی مرکز

کبد یکی از اندام‌های حیاتی بدن بوده و به عنوان اولین سد دفاعی، نقشی ممتاز و اساسی در سمزدایی عوامل توکسیک، آلالینده‌های محیطی و داروهای شیمیایی دارد. نارسایی حاد کبد در اثر عوامل متعددی از جمله هپاتیت‌های ویروسی، سموم، داروها و ایسکمی ایجاد می‌شود. آسیب کبد در اثر این عوامل اغلب به شکل نکروز هپاتوسیت‌ها بروز می‌کند. استرس اکسیداتیو نقش اساسی را در صدمات بافت کبد در اثر داروها و سموم بر عهده دارد. این در حالی است که آسیب‌های کبدی در اثر عوامل ویروسی و ایمنولوژیک عمده‌ای از طریق فعال‌سازی مسیر آپوپتوزی مرگ سلول اتفاق می‌افتد (۱). بیماری سل که به عنوان یک مسئله بهداشت عمومی در سراسر جهان مطرح بوده و با شیوع بیماری ایدز، یکی از عوامل عمده مرگ و میر در مبتلایان به شمار می‌رود (۲)، با ریفامپین قابل درمان است. ریفامپین یک عامل سمی بسیار قوی برای کبد به شمار می‌رود (۳). هپاتیت بالینی در ۱/۱ درصد از افراد مسنی که با ریفامپین درمان شده‌اند، گزارش شده است (۴)، ولی از آنجا که ریفامپین اغلب همراه با سایر داروها نظری ایزوپیازید (Isoniazid) و پیرازینامید (Pyrazinamide) برای درمان بیماری سل تجویز می‌شود، لذا میزان وقوع واقعی هپاتیت در اثر مصرف ریفامپین ناشناخته باقی مانده است (۵). مکانیسم آسیب کبدی ناشی از ریفامپین نیز هنوز به طور کامل شناخته نشده است. تحقیقات نشان داده‌اند ریفامپین از طریق آسیب اکسیداتیو باعث پراکسیداسیون لیپیدی و تخلیه آنتی‌اسیدان تری‌پتید گلوتاتیون (GSH) و آنزیم‌های پاک کننده رادیکال‌های آزاد می‌شود (۶). آنتی‌اسیدان‌ها عواملی هستند که حتی در مقادیر ناچیز می‌توانند بدن را در مقابل انواع مختلف آسیب‌های اکسیداتیو ناشی از گونه‌های فعال اکسیژن محافظت کنند (۷). بنابراین گیاهان دارویی که سرشار از مواد آنتی‌اسیدانی هستند، به دلیل سهولت دسترسی، کاهش عوارض جانبی و قیمت مناسب به عنوان جایگزین‌های شایسته داروهای شیمیایی، همواره مورد توجه بوده و از چند دهه اخیر به طور خاص مورد توجه محققین قرار گرفته‌اند. اگرچه عوامل دارویی متنوعی برای درمان انواع بیماری‌ها وجود دارد، لکن اغلب بیماران قادر به تحمل اثرات جانبی داروهای شیمیایی نیستند و از سوی دیگر، اکثر گیاهان

دوز مصرف آن در درمان موارد بالینی بیماری سل در انسان می باشد؛ چراکه در حیواناتی نظری موش های صحرایی که دارو را به سرعت متابولیزه می کنند، دوز های بالاتر مورد نیاز است (۱۵). در پایان دوره آزمایش و ۲۴ ساعت پس از آخرین گاواز، جهت اندازه گیری فاکتورهای بیوشیمیایی شامل: آلانین آمینو ترانسفراز (Alanine Aminotransferase; ALT)، آسپارتات آمینو ترانسفراز (Aspartate Amino Transferase ;AST) (۱۶)، آalkalain فسفاتاز (Alkaline Phosphatase; ALP) (۱۷)، آلبومین (Albumin; Alb) (۱۸)، پروتئین تام (Total Protein, TP) (۱۸) و یلی روین تام (Total Bilirubin, TB) (۱۹)، نمونه خون ناشتا از سینوس پشت کره چشم (Retro-orbital Plexus) گرفته شد و سرم نمونه های خون با سانتریفوژ (سرعت ۲۵۰۰ دور در دقیقه، به مدت ۱۵ دقیقه در دمای ۳۰ درجه سانتیگراد) جدا گردید. برای تعیین وضعیت آتشی اکسیدانی کبد، همه موش ها همزمان با ایجاد درفتگی در مهره های گردن (Cervical Dislocation) سرد شستشو داده شد، سپس هموژنات ۱۰٪ در ۱/۱۵ (w/v) کلور پتاسیم تهیه گردید. هموژنات با سرعت ۷۰۰۰ دور در دقیقه و به مدت ۱۰ دقیقه در دمای ۴ درجه سانتیگراد سانتریفوژ شد. از محلول رویی جهت سنجش میزان پراکسیداسیون لیپیدی از طریق اندازه گیری مقدار مالون دی آلدئید (Malondialdehyde, MDA)، همچنین برای اندازه گیری فعالیت آنزیم های آتشی اکسیدانی، سوپراکسید دیسموتاز (Superoxide Dismutase, SOD)، کاتالاز (Catalase, CAT)، گلوتاتیون پراکسیداز (Glutathione Peroxidase, GPX) و گلوتاتیون ردوکتاز (Glutathione Reductase GR) استفاده گردید. پراکسیداسیون چربی در کبد با روش رنگ سنجی (Colorimetrically)، به وسیله اندازه گیری TBARS (Thiobarbituric Acid Reacting Substances) طبق روش Fraga و همکاران (سال ۱۹۸۸) انجام شد (۲۰). به طور خلاصه، ۱/۰ میلی لیتر هموژنات بافتی با ۲ میلی لیتر معرف (Thiobarbituric Acid) TBA-(Trichloroacetic Acid) TCA-HCl (TBA-(Trichloroacetic Acid) TCA-HCl) درصد ۰/۲۵، ۰/۱۵ درصد HCL و ۱/۰ درصد TCA، به نسبت ۱:۱ مخلوط شد و پس از ۱۵ دقیقه قرار گیری در بن ماری

تحقیقات دانشگاه آزاد اسلامی تبریز مورد تأیید قرار گرفت. سنجش فاکتورهای بیوشیمیایی مورد بررسی نیز با استفاده از کیت های تجاری موجود

(Nanjing Jiancheng Bioengineering Institute, Nanjing, China) انجام شد. برای انجام این مطالعه، تعداد ۴۰ سر موش صحرایی نر نژاد ویستار با وزن تقریبی  $۲۰ \pm ۲۰$  گرم، به طور تصادفی به ۱۰ گروه تابی به شرح زیر تقسیم شدند:

- ۱- گروه شاهد (Control);
- ۲- گروه داروی سمی (Toxicant);
- ۳- گروه شاهد مثبت (Positive Control);
- ۴- گروه درمان با عصاره (Extract Treatment).

شرایط تغذیه و نگهداری برای تمام گروه های یکسان (به صورت ۱۲ ساعت روشنایی و ۱۲ ساعت تاریکی و دمای  $۲۱ \pm ۲$  درجه سانتیگراد) در نظر گرفته شد. جیره غذایی یکسان و آب به طور آزاد در دسترس حیوان قرار گرفت. بذر خالص و تازه سیاهدانه از یک عطاری معتبر در تبریز خریداری و پس از تأیید توسط گروه فارماکو گنوزی دانشگاه علوم پزشکی تبریز استفاده شد. برای تهییه عصاره سیاهدانه، ابتدا بذر گیاه به صورت پودر درآمد و سپس عصاره اتانولی به روش سوکله با استفاده از ۵۰۰ میلی لیتر اتانول ۹۵٪ برای ۱۰۰ گرم وزن خشک بذر گیاه تهیه گردید. عصاره در حمام بخار به صورت نیمه جامد تغليظ شد.

گروه شاهد روزانه و به مدت ۳۰ روز، نرمال سالین را (به میزان ۱۰ میلی گرم بر کیلو گرم) به طور خوراکی (گاواز) دریافت کردند؛ گروه داروی سمی، داروی ریفامپین را روزانه (به میزان ۵۰۰ میلی گرم بر کیلو گرم در ۱۰ میلی گرم بر کیلو گرم نرمال سالین) به صورت گاواز به مدت ۳۰ روز دریافت کردند؛ گروه تیمار، عصاره الکلی سیاهدانه را (با دوز ۲۵۰ میلی گرم بر کیلو گرم وزن بدن در ۱۰ میلی گرم بر کیلو گرم نرمال سالین) روزانه و به مدت ۳۰ روز به صورت گاواز و ۴۵ دقیقه قبل از مصرف ریفامپین (به میزان ۵۰۰ میلی گرم بر کیلو گرم) دریافت کردند؛ گروه سیلیمارین نیز به عنوان رفرانس، داروی سیلیمارین (Silymarin) را روزانه و به مدت ۳۰ روز (به میزان ۵۰ میلی گرم بر کیلو گرم در ۱۰ میلی گرم بر کیلو گرم نرمال سالین) به شکل گاواز و ۴۵ دقیقه قبل از مصرف ریفامپین دریافت کردند. لازم به ذکر است که این میزان مصرف داروی ریفامپین بسیار بیشتر از

در ۴۲۰ نانومتر اندازه گیری شد. مخلوط واکنشگر مشکل از ۰/۲ میلی لیتر اتیلن دی آمین ترا استیک اسید (Ethylenediamine Tetra-acetic Acid, EDTA) ۰/۸ میلی مول، ۱۰ میلی لیتر آزید سدیم (Sodium Azide) ۱۰ میلی مول، ۰/۱ میلی لیتر پراکسید هیدروژن ۲/۵ میلی مول و ۰/۲ میلی لیتر افروند ۰/۵ میلی لیتر تری کلرواستیک اسید هموژنات بود که در ۳۷ درجه سانتیگراد به مدت ۱۰ دقیقه انکوبه گردید. واکنش با افروند ۰/۵ میلی لیتر تری کلرواستیک اسید ۱۰٪ متوقف و لوله ها با ۲۰۰۰ دور در دقیقه به مدت ۱۵ دقیقه سانتریفوژ شدند. ۳ میلی لیتر دی سدیم هیدروژن ۰/۸ میلی مول و ۰/۱ میلی لیتر DTNB ۰/۰۴ درصد به محلول شناور افروده شد و بالافاصله رنگ حاصله در ۴۲۰ نانومتر اندازه گیری شد. فعالیت گلوتاتیون پراکسیداز به صورت میلی گرم پروتئین در دقیقه بر میکرومول گلوتاتیون اکسید بیان گردید. فعالیت گلوتاتیون ردوکتاز با استفاده از روش Mohandas و همکاران (۲۴) براساس واکنش ذیل مورد سنجش قرار گرفت.



در حضور گلوتاتیون ردوکتاز، گلوتاتیون اکسیده، احیا و همزمان NADP<sup>+</sup> به NADPH اکسیده شد. فعالیت آنزیم در دمای اتاق و با ناپدیدشدن میزان NADPH در دقیقه با اندازه گیری اسپکتروفوتومتری کاهش جذب نوری در ۳۴۰ نانومتر تعیین گردید. برای آسیب شناسی بافتی کبد، از سمت دیافراگمی لوب چپ کبد، نمونه گرفته شد. نمونه ها در فرمالین بافری ۱۰٪ پایدار شدند، سپس برش هایی با ضخامت ۵ میکرون و با روش رنگ آمیزی معمول هماتوکسیلین - اوزین از بافت ها تهیه گردید (۲۵). مقاطع آسیب شناسی به وسیله یک مقیاس نیمه کمی (Semi-quantitative Scale) و به صورت دوسوکور از نظر آسیب مورد بررسی قرار گرفت. تغییرات هیستوپاتولوژی مورد مشاهده براساس شدت ضایعه، از ۰-۳ (صفه: حالت طبیعی؛ ۱: دژنرنسانس هیدروپیک خفیف، عدم پرولیفراسیون سلول های کوپفر و عدم نکروز؛ ۲: دژنرنسانس هیدروپیک متوسط، پرولیفراسیون سلول های کوپفر و عدم نکروز یا نکروز جزئی؛ ۳: دژنرنسانس هیدروپیک شدید، پرولیفراسیون سلول های کوپفر و نکروز) درجه بندی شدند (۲۶). برش ها با بزرگنمایی ۱۰۰ و در ۵ میدان میکروسکوپی، به طور تصادفی با میکروسکوپ نوری مدل

جوش خنک شده و با سرعت ۳۵۰۰ دور در دقیقه به مدت ۱۰ دقیقه در دمای اتاق سانتریفوژ شد. شدت جذب محلول روی شفاف در ۵۳۵ نانومتر در مقابل بلاتک اندازه گیری شد. مقداری به صورت نانومول بر ۱۰۰ گرم بافت بیان شدند. فعالیت سوپراکسید دیسموتاز به وسیله روش Nishikimi و همکاران تعیین گردید (۲۱). به طور خلاصه، در حدود ۵ میکرو گرم از پروتئین های تام هریک از هموژنات های کبدی با بافر پیروفسفات سدیم، فنازین متوسلفات (Phenazine Methosulfate; PMT) و نیترو - بلوترازو لیوم (Nitro-blue Tertazolium; NBT) مخلوط شد. در ادامه، با افزودن نیکوتین آمید - آدنین دی نوکلئوتید (Nicotinamide-adenine Dinucleotide; NADH) صورت گرفت. مخلوط واکنش در دمای ۳۰ درجه سانتیگراد به مدت ۹۰ ثانیه انکوبه و با افزودن یک میلی لیتر اسید استیک گلاسیال متوقف گردید. شدت جذب محلول رنگ رای تشکیل شده در ۵۶۰ نانومتر اندازه گیری شد. هر واحد از فعالیت سوپراکسید دیسموتاز به صورت غلظت آنزیم مورد نیاز برای ممانعت از تولید رنگ تا ۵۰٪ در یک دقیقه، تحت شرایط مطالعه تعیین گردید. فعالیت کاتالاز به وسیله روش Claiborne و براساس تعزیزی پراکسید هیدروژن در ۲۴۰ نانومتر مورد سنجش قرار گرفت (۲۲). به طور خلاصه، مخلوط مورد سنجش مشکل از ۱/۹۵ میلی لیتر بافر فسفات (pH=۷، ۰/۰۵ مول)، یک میلی لیتر پرکسید هیدروژن (۰/۰۱۹ مول) و ۰/۰۵ میلی لیتر PMS (۰/۱۰٪) در حجم نهایی ۳ میلی لیتر بود. تغییرات در جذب، در ۲۴۰ نانومتر اندازه گیری شد. در نهایت نتیجه به شکل "فعالیت کاتالاز در دقیقه" محاسبه گردید. فعالیت گلوتاتیون پراکسیداز با استفاده از روش Rotruck و همکاران (۲۳) و براساس واکنش ذیل مورد سنجش قرار گرفت.

(گلوتاتیون اکسید)  $\text{H}_2\text{O}_2 + \text{GSSG} \rightarrow \text{GSH} + \text{GSSG}$  (گلوتاتیون احیا) گلوتاتیون پراکسیداز در هموژنات بافتی، گلوتاتیون را اکسیده کرده که به طور همزمان پراکسید هیدروژن به آب احیا شد. این واکنش پس از ۱۰ دقیقه با تری کلرو استیک اسید متوقف و گلوتاتیون باقیمانده با محلول دی تیوبیس نیترو بنزوئیک اسید (Dithiobis Nitrobenzoic Acid, DTNB) مجدداً فعال و منجر به تشکیل ترکیب رنگی شد که با اسپکتروفوتومتر

### یافته‌ها

در موش‌های گروه داروی سمی (دربافت‌کننده ریفامپین)، سطوح سرمی آنزیم‌های آلانین آمینو ترانسفراز (ALT)، آسپارتات آمینو ترانسفراز (AST) و آکالین فسفاتاز (ALP) و بیلی‌روین تام سرم (TB) در مقایسه با گروه شاهد، به‌طور معنی‌داری ( $p < 0.01$ ) افزایش و میزان پروتئین تام (TP) و آلبومین سرم (Alb)، به‌طور معنی‌داری ( $p < 0.01$ ) کاهش یافت. در گروه شاهد مثبت، درمان با سیلیمارین، سطوح افزایش یافته سرمی آنزیم‌های ALT، AST و ALP و بیلی‌روین تام سرم در ریفامپین را به‌طور معنی‌دار ( $p < 0.01$ ) و تا حد طبیعی کاهش و مقادیر کاهش یافته پروتئین تام و آلبومین سرم را به‌طور معنی‌دار ( $p < 0.01$ ) و تا سطوح طبیعی خود افزایش داد. در گروه تیمار با عصاره سیاهدانه نیز مقادیر افزایش یافته آنزیم‌های مارکر و بیلی‌روین تام سرم، به‌طور معنی‌داری ( $p < 0.01$ ) کاهش و مقادیر کاهش یافته پروتئین تام و آلبومین سرم، به‌طور معنی‌داری ( $p < 0.01$ ) افزایش یافت (جدول شماره ۱).

جدول شماره ۱: تأثیر عصاره سیاهدانه بر شاخص‌های سرمی آسیب کبد در سمیت کبدی ریفامپین در موش صحرایی

شاخص‌ها						گروه‌ها
TP(g/dl)	Alb(g/dl)	TB(mg/dl)	ALP(IU/L)	AST(U/L)	ALT (U/L)	
۸/۰±۰/۵ <sup>b</sup>	۴/۳±۰/۴ <sup>b</sup>	۰/۸±۰/۰ <sup>b</sup>	۱۸۹/۵±۹/۹ <sup>b</sup>	۸۴/۷±۲/۳ <sup>b</sup>	۵۴/۲±۳/۶ <sup>b</sup>	شاهد (تیمار با نرمال سالین)
۵/۳±۰/۲ <sup>acd</sup>	۲/۱±۰/۲ <sup>acd</sup>	۱/۳±۰/۰ <sup>acd</sup>	۲۷۷/۴±۱۱/۵ <sup>acd</sup>	۱۱۰/۲±۴/۶ <sup>acd</sup>	۸۱/۹±۴/۱ <sup>acd</sup>	داروی سمی (تیمار با ریفامپین)
۷/۱±۰/۴ <sup>b</sup>	۴/۴±۰/۳ <sup>b</sup>	۰/۸±۰/۰ <sup>b</sup>	۲۰۱/۸±۷/۳ <sup>b</sup>	۸۲/۹±۱/۵ <sup>b</sup>	۶۵/۷±۲/۸ <sup>b</sup>	شاهد مثبت (تیمار با ریفامپین+سیلیمارین)
۶/۹±۰/۳ <sup>b</sup>	۴/۵±۰/۲ <sup>b</sup>	۰/۹±۰/۰ <sup>b</sup>	۲۱۵/۶±۸/۴ <sup>b</sup>	۸۱/۳±۲/۷ <sup>b</sup>	۶۱/۵±۳/۱ <sup>b</sup>	تیمار با ریفامپین+عصاره

مقادیر به‌صورت میانگین±انحراف استاندارد (Mean±SEM) (برای ۱۰ سر موش صحرایی در هر گروه ارائه شده است. a: اختلاف معنی‌دار با گروه ۱؛ b: اختلاف معنی‌دار با گروه ۳؛ c: اختلاف معنی‌دار با گروه ۴). ( $p < 0.05$ ).

تا حد طبیعی افزایش و مقادیر افزایش یافته MDA را به‌طور معنی‌دار ( $p < 0.01$ ) و تا سطوح طبیعی خود کاهش داد. در گروه تیمار با عصاره سیاهدانه نیز مقادیر کاهش یافته آنزیم‌های SOD، CAT، GPx، GR به‌طور معنی‌داری ( $p < 0.01$ ) افزایش و مقادیر افزایش یافته MDA به‌طور معنی‌داری کاهش یافت (جدول شماره ۲).

نیکون (ECLIPSE E200)، ساخت کشور ژاپن) بررسی شدند. از مناطق آسیب‌دیده تصاویری با وضوح ۵ مگاپیکسل تهیه گردید. داده‌های به دست آمده کمی، به‌صورت میانگین±انحراف استاندارد (Mean±SEM) ارائه شد و داده‌ها با استفاده از نرم‌افزار SPSS نسخه ۱۳، آزمون آماری واریانس یک‌طرفه، آزمون تعقیبی توکی و کلموگروف - اس‌میرنف تجزیه و تحلیل شدند. مقایسه درجات هیستوپاتولوژی کبد بین گروه‌های مورد مطالعه با آزمون ناپارامتری کروسکال والیس (Kruskal-Wallis H Test) صورت گرفت که در صورت معنی‌دار بودن آزمون فوق، با استفاده از آزمون ناپارامتری یومان - ویتنی با اصلاح بونفرونی (Bonferroni Correction) مقایسات زوجی انجام شد. سطح معنی‌داری،  $p < 0.05$  در نظر گرفته شد.

جدول شماره ۲: تأثیر عصاره سیاهدانه بر شاخص‌های سرمی آسیب کبد در سمیت کبدی ریفامپین در موش صحرایی

شاخص‌ها						
TP(g/dl)	Alb(g/dl)	TB(mg/dl)	MDA (nmol/ml)	SOD (U/mg)	CAT (U/mg)	GPx (U/mg)
۸/۰±۰/۵ <sup>b</sup>	۴/۳±۰/۴ <sup>b</sup>	۰/۸±۰/۰ <sup>b</sup>	۱۸۹/۵±۹/۹ <sup>b</sup>	۸۴/۷±۲/۳ <sup>b</sup>	۵۴/۲±۳/۶ <sup>b</sup>	۱۱۰/۲±۴/۶ <sup>b</sup>
۵/۳±۰/۲ <sup>acd</sup>	۲/۱±۰/۲ <sup>acd</sup>	۱/۳±۰/۰ <sup>acd</sup>	۲۷۷/۴±۱۱/۵ <sup>acd</sup>	۱۱۰/۲±۴/۶ <sup>acd</sup>	۸۱/۹±۴/۱ <sup>acd</sup>	۱۱۰/۲±۴/۶ <sup>acd</sup>
۷/۱±۰/۴ <sup>b</sup>	۴/۴±۰/۳ <sup>b</sup>	۰/۸±۰/۰ <sup>b</sup>	۲۰۱/۸±۷/۳ <sup>b</sup>	۸۲/۹±۱/۵ <sup>b</sup>	۶۵/۷±۲/۸ <sup>b</sup>	۱۱۰/۲±۴/۶ <sup>b</sup>
۶/۹±۰/۳ <sup>b</sup>	۴/۵±۰/۲ <sup>b</sup>	۰/۹±۰/۰ <sup>b</sup>	۲۱۵/۶±۸/۴ <sup>b</sup>	۸۱/۳±۲/۷ <sup>b</sup>	۶۱/۵±۳/۱ <sup>b</sup>	۱۱۰/۲±۴/۶ <sup>b</sup>

در موش‌های گروه داروی سمی (دربافت‌کننده ریفامپین)، سطوح کبدی آنزیم‌های آنتی‌اکسیدانی (CAT، SOD، GPx و GR) در مقایسه با گروه شاهد، به‌طور معنی‌داری ( $p < 0.01$ ) کاهش و به‌طور معنی‌داری ( $p < 0.01$ ) افزایش یافت. در گروه شاهد مثبت، سیلیمارین، سطوح کاهش یافته آنزیم‌های SOD، CAT، GPx و GR در اثر ریفامپین را به‌طور معنی‌دار ( $p < 0.01$ ) و

جدول شماره ۲: تأثیر عصاره چای سبز بر فعالیت آنتی اکسیدانتیوی کبد در آسیب ناشی از ریفامپین در موش صحرایی

## فراسنجه‌ها

گروه‌ها	MDA (nmol/g protein)	SOD (U/mg protein)	CAT (U/mg protein)	GPx (U/mg protein)	GR (U/mg protein)
شاهد (تیمار با نرمال سالین)	۳/۳±۰/۱ <sup>b</sup>	۱۵/۶±۰/۴ <sup>b</sup>	۶۵/۱±۳/۱ <sup>b</sup>	۱۶/۸±۱/۲ <sup>b</sup>	۱۲۳/۷±۴/۹ <sup>b</sup>
داروی سمی (تیمار با ریفامپین)	۵/۲±۰/۲ <sup>acd</sup>	۱۰/۹±۰/۴ <sup>acd</sup>	۵۲/۸±۱/۱ <sup>acd</sup>	۱۲/۴±۰/۶ <sup>acd</sup>	۹۸/۹±۲/۶ <sup>acd</sup>
شاهد مثبت (تیمار با ریفامپین+سیلیمارین)	۳/۱±۰/۱ <sup>b</sup>	۱۴/۹±۰/۴ <sup>b</sup>	۶۳/۴±۱/۹ <sup>b</sup>	۱۷/۳±۱/۴ <sup>b</sup>	۱۱۵/۲±۳/۵ <sup>b</sup>
تیمار با ریفامپین+عصاره	۳/۰±۰/۲ <sup>b</sup>	۱۴/۴±۰/۵ <sup>b</sup>	۶۲/۲±۱/۴ <sup>b</sup>	۱۸/۱±۱/۱ <sup>b</sup>	۱۱۸/۴±۳/۱ <sup>b</sup>

مقادیر به صورت میانگین  $\pm$  انحراف استاندارد (Mean $\pm$ SEM) برای ۱۰ سر موش صحرایی در هر گروه ارائه شده است.  
a: اختلاف معنی دار با گروه ۱؛ b: اختلاف معنی دار با گروه ۲؛ c: اختلاف معنی دار با گروه ۳؛ d: اختلاف معنی دار با گروه ۴، (p<0.05).

نتایج آسیب‌شناسی بافتی کبد در گروه‌های مختلف در جدول شماره ۳ رتبه‌بندی و مقایسه شده است.

جدول شماره ۳: تأثیر عصاره سیاهدانه بر آسیب بافت کبد ناشی از ریفامپین در موش صحرایی

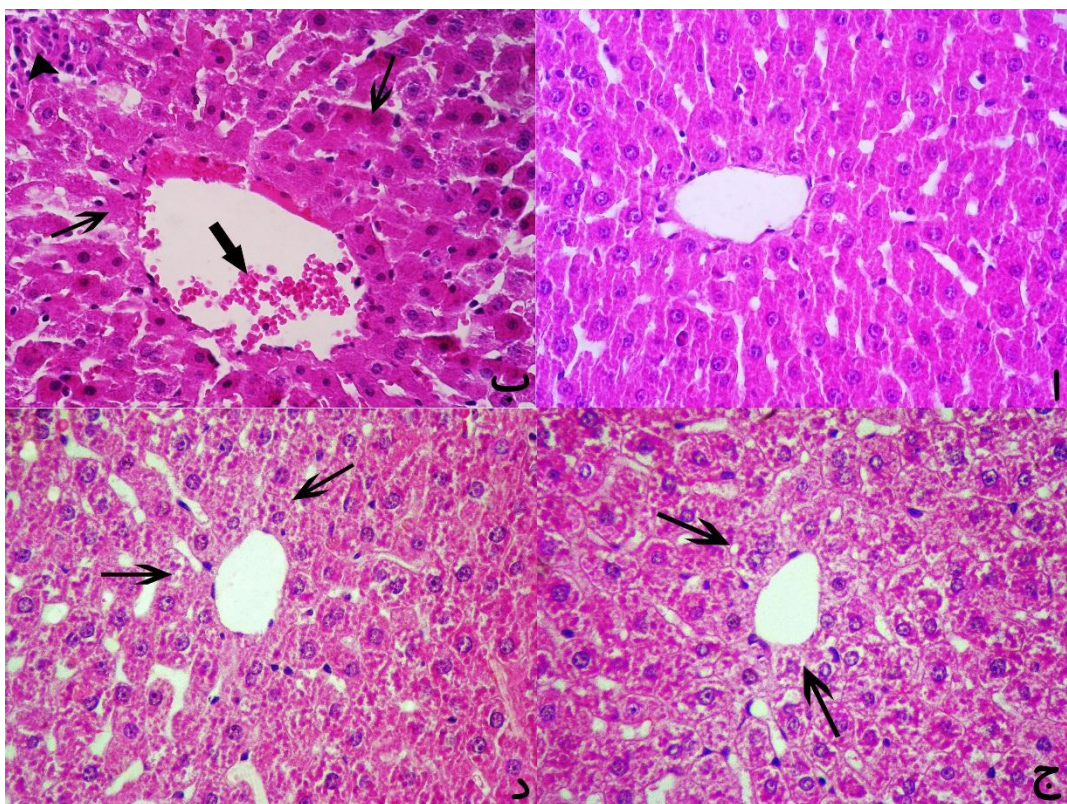
گروه	درجه آسیب بافتی
۱	۰/۰±۰/۰ <sup>a</sup>
۲	۲/۶۵±۰/۱۸ <sup>b</sup>
۳	۰/۲۶±۰/۱۴ <sup>a</sup>
۴	۰/۳۲±۰/۱۵ <sup>a</sup>

a و b: حروف غیر مشابه، نشانگر اختلاف معنی دار می‌باشد (p<0.05).

گروه‌ها: (۱) سالم، تیمار با نرمال سالین؛ (۲) داروی سمی، تیمار با ریفامپین (دوز ۵۰۰ میلی گرم بر کیلو گرم)؛ (۳) شاهد مثبت، تیمار با ریفامپین (دوز ۵۰۰ میلی گرم بر کیلو گرم)+سیلیمارین (دوز ۵۰ میلی گرم بر کیلو گرم)؛ (۴) تیمار با ریفامپین (دوز ۵۰۰ میلی گرم بر کیلو گرم)+عصاره الکلی سیاهدانه (دوز ۲۵۰ میلی گرم بر کیلو گرم).

ارتشاح سلول‌های آماسی تک‌هسته‌ای در فضاهای پورتال و پرخونی سینوزوئیدها نیز در این گروه مشخص بود (شکل ب). در نمونه‌های بافتی گروه درمان با سیلیمارین و گروه تیمار با عصاره سیاهدانه، آسیب بافتی در تعداد اندکی از موش‌ها و فقط به شکل تغییرات دژنراتیو خفیف هپاتوسیت‌ها مشاهده گردید (شکل ج و د)، که از لحاظ آماری اختلاف معنی داری بین این گروه‌ها و گروه شاهد وجود نداشت.

در مطالعات میکروسکوپی، نمونه‌های بافتی کبد در گروه شاهد سالم، ساختار بافتی کاملاً طبیعی داشتند (شکل الف). در نمونه‌های بافتی گروه داروی سمی (دریافت کننده ریفامپین)، تغییرات دژنراتیو متوسط تا شدید در نواحی مرکز لوبولی که تا نواحی پورتال نیز گسترش یافته بود، مشاهده گردید. در موارد شدید، نکروز سلول‌های کبدی در اطراف وریدچه مرکزی نیز مشاهده شد. افزایش منتشر سلول‌های کوپفر کبدی همراه با



شکل: نمای ریزینی از بافت کبد (رنگ آمیزی هماتوکسیلین - انوزین، درشتنمایی ۴۰۰×).

الف: (گروه شاهد): هپاتوسیت‌ها و ساختار بافت کبد طبیعی می‌باشد. ب: (گروه دریافت کننده ریفامپین؛ وریدچه مرکزی پرخون بوده (پیکان ضخیم) و تکروز هپاتوسیت‌ها (پیکان‌های نازک) در اطراف وریدچه مرکزی و از بین رفن نظم رو به مرکز ستون‌های سلولی مشخص می‌باشد. افزایش سلول‌های کوپفر کبدی (نوک پیکان) در محل تکروز سلول‌ها قابل مشاهده است. ج: (گروه شاهد مثبت): در بافت کبد بجز واکونولاسیون و تغییرات خفیف دژنراتیو هپاتوسیت‌ها (پیکان‌ها) ضایعه پاتولوژیک خاصی مشاهده نمی‌شود. د: (گروه تیمار با عصاره سیاهدانه): تغییرات دژنراتیو خفیف بوده و واکونولاسیون ملایم هپاتوسیت‌ها (پیکان‌ها) مشاهده می‌شود.

غشاء سلول باعث رهاشدن این آنزیم‌ها به گردش خون می‌شود.

افزایش سطح سرمی AST، آسیب کبد در اثر هپاتوسیت‌های ویروسی، انفارکتوس‌های قلبی و خدمات عضلانی را نشان می‌دهد. ALT که باعث تبدیل آلانین به پیرووات و گلوتامات می‌شود، برای سلول‌های کبدی اختصاصی‌تر بوده و شاخص مناسب‌تری برای تشخیص آسیب در بافت کبد است. افزایش سطح سرمی آنزیم‌های فوق، نشان‌دهنده نشست سلولی بوده که به دلیل آسیب ساختار غشاء هپاتوسیت‌ها و اختلال در عملکرد آن است (۲۹). میزان ALP، بیلی‌روین، آلبومین و پروتئین تام سرم نیز با عملکرد سلول‌های کبدی در ارتباط است. افزایش سطح سرمی ALP، در اثر افزایش تولید در حضور فشار فزاینده صفرایی رخ می‌دهد (۳۰). بازگشت مقادیر افزایش یافته آنزیم‌های سرمی شاخص آسیب کبد در اثر ریفامپین به حالت طبیعی خود به وسیله عصاره سیاهدانه می‌تواند در اثر جلوگیری از

## بحث

در بررسی حاضر، مصرف ریفامپین باعث افزایش معنی‌دار سطوح سرمی آنزیم‌های ALT، ALP، AST، بیلی‌روین تام و کاهش معنی‌دار پروتئین تام و آلبومین سرم موش‌های صحرایی در مقایسه با گروه شاهد شد که با یافته‌های سایر محققین همخوانی داشت (۲۷، ۲۸). همچنین، داروی سیلیمارین تأثیر بسیار خوبی بر بهبود وضعیت تغییرات شاخص‌های آسیب کبد در اثر ریفامپین داشت که از این لحاظ با نتایج بررسی Tasduq و همکاران در سال ۲۰۰۵ همخوانی داشت (۲۸).

بدین ترتیب نتایج به دست آمده نشان داد عصاره سیاهدانه از لحاظ محافظت در برابر سمیت کبدی ریفامپین، با داروی استاندارد سیلیمارین برابر می‌کند. در بررسی آسیب کبد نیز سنجش سطوح سرمی آنزیم‌های ALT، AST و ALP به طور گسترده مورد استفاده قرار می‌گیرد. وقوع نکروز و آسیب

به نظر می‌رسد رادیکال‌های آزاد حاصل از واکنش متابولیت‌های ریفامپین با اکسیژن باعث پراکسیداسیون لیپیدهای غشایی شده که خود منجر به تشکیل پراکسیدهای لیپیدی (مالون دی‌آلدئید) و در نهایت از بین رفتن یک پارچگی غشای هپاتوستیت‌ها و آسیب کبد می‌شود. افزایش میزان مالون دی‌آلدئید در موش‌های دریافت‌کننده ریفامپین، نشان‌دهنده افزایش واکنش‌های پراکسیداسیونی است که به ضعف مکانیسم‌های تدافعی آنتی‌اکسیدانی منجر می‌شود و بدین ترتیب ممانعت از تشکیل مفرط رادیکال‌های آزاد مقدور نخواهد بود (۳۷). به عبارتی دیگر، افزایش میزان مالون دی‌آلدئید در کبد در اثر ریفامپین، نشان‌دهنده افزایش پراکسیداسیون لیپیدی است که منجر به آسیب بافت کبد، همچنین بی‌کفایتی مکانیسم‌های تدافعی آنتی‌اکسیدانی آنتی‌اکسیدانی هستند که یک سیستم تدافعی را علیه گونه‌های سوپراکسید دیسموتاز، کاتالاز، گلوتاتیون پراکسیداز؛ آنزیم‌های فعال اکسیژن (Reactive Oxygen Species; ROS) تشکیل داده‌اند (۳۸). کاهش فعالیت سوپراکسید دیسموتاز شاخصی حساس در آسیب سلول‌های کبدی به شمار می‌رود (۳۹). این آنزیم یکی از مهم‌ترین عوامل در سیستم تدافعی آنتی‌اکسیدانی آنزیمی است. سوپراکسید دیسموتاز، آنیون سوپراکسید را با تبدیل به پراکسید هیدروژن پاکسازی نموده و بدین ترتیب اثرات سمی آن را کاهش می‌دهد (۴۰). در مطالعه حاضر، میزان سوپراکسید دیسموتاز در موش‌های دریافت‌کننده ریفامپین به دلیل تشکیل فراوان آنیون‌های سوپراکسید، همچنین فعالیت آنزیم‌های پاک‌کننده پراکسید هیدروژن؛ یعنی کاتالاز و گلوتاتیون پراکسیداز به طور معنی‌داری کاهش یافت که به نظر می‌رسد پراکسیداز به غیرفعال شدن سوپراکسید دیسموتاز با آنیون‌های افزایش یافته سوپراکسید، منجر به غیرفعال شدن آنزیم‌های کاتالاز و گلوتاتیون پراکسیداز شده است. همچنین در مطالعه حاضر مصرف عصاره سیاهدانه مانع از کاهش سوپراکسید دیسموتاز، کاتالاز و گلوتاتیون پراکسیداز شد که این امر نیز ممکن است در اثر پاکسازی رادیکال‌های آزاد به‌وسیله عصاره باشد که منجر به حفظ و بقای این آنزیم‌ها شده است. کاتالاز آنزیمی آنتی‌اکسیدان بوده که به‌طور گستردۀ در بافت‌های بدن وجود دارد و دارای بیشترین

نشت آنزیم‌های داخل سلولی به‌دلیل حفظ یک پارچگی غشای سلول و یا نوزایش و ترمیم سلول‌های آسیب‌دیده کبد باشد (۳۱). برگشت به مقادیر طبیعی سطوح سرمی ALP، بیلی‌رویین و پروتئین تام؛ بهبود زودهنگام مکانیسم‌های عملکردی و ساختاری سلول‌های کبدی را نشان می‌دهد. در بررسی حاضر، مصرف ریفامپین باعث تغییرات دژنراتیو گستردۀ و نکروز نواحی مرکز لوبولی کبد موش‌های صحرایی شد. تغییرات دژنراتیو و نکروز در اطراف وریدچه مرکزی لوبول‌های کبدی می‌تواند در اثر مسمومیت اتفاق افتد (۳۲). بنابراین، در مطالعه حاضر آسیب‌شناسی بافتی کبد، اثرات مستقیم و نمادین سمی ریفامپین را نشان داد که با نتایج بررسی Tandon و همکاران در سال ۲۰۰۸ همخوانی داشت (۳۳). با مصرف عصاره سیاهدانه در کثار ریفامپین، فقط تغییرات دژنراتیو خفیف مشاهده شد و اثری از نکروز دیده نشد که این خود اثرات حفاظتی و پیشگیرانه عصاره سیاهدانه را در برابر سمیت کبدی ریفامپین نشان می‌داد. در هر صورت، یافته‌های آسیب‌شناسی بافتی این مطالعه در توافق با نشانی‌ها و شواهد، با نتایج بیوشیمیایی به‌دست آمده همخوانی داشت و آنها را مورد تأیید قرار داد. در مطالعه حاضر، مصرف ریفامپین افزایش قابل توجه میزان مالون دی‌آلدئید و کاهش فعالیت آنزیم‌های سوپراکسید دیسموتاز، کاتالاز، گلوتاتیون پراکسیداز و گلوتاتیون ردوکتاز را به همراه داشت. نتایج بررسی حاضر از این لحظه با یافته‌های Tasduq و همکاران، Santhosh و همکاران همخوانی داشت (۲۸، ۲۷). ریفامپین یک القاکننده قوی سیستم سیتوکروم P450 است که تولید متابولیت‌های سمی از داروها و اتصال کووالان آنها به ماکرومولکول‌های کبدی را سبب می‌شود (۳۴). بنابراین، تبدیل ریفامپین به متابولیت‌های فعال که قادر به اتصال به ماکرومولکول‌های موجود در هپاتوستیت‌ها هستند، منجر به آسیب کبد می‌شود (۳۵). تحقیقات نشان داده است استرس اکسیداتیو، مکانیسم اصلی ریفامپین در ایجاد اثرات سمی در کبد موش‌های صحرایی است (۳۶). یافته‌های مطالعه حاضر مکانیسم فوق را مورد تأیید قرار داد؛ چراکه در بافت کبد موش‌های دریافت‌کننده ریفامپین، افزایش معنی‌داری در میزان پراکسیداسیون لیپیدی مشاهده گردید که خود به موازات کاهش قابل ملاحظه آنزیم‌های آنتی‌اکسیدانی بررسی شد.

آنریم‌های سوپراکسید دیسموتاز، کاتالاز، گلوتاتیون پراکسیداز و گلوتاتیون ردوکتاز و میزان مالون دی‌آلدئید تفاوت معنی‌داری وجود نداشت.

### نتیجه‌گیری

در مجموع، نتایج به دست آمده در این مطالعه، اثرات پیشگیرانه و محافظتی عصاره سیاهدانه را در برابر سمیت کبدی ریفامپین مورد تأیید قرار داد، به طوری که اثرات محافظتی فوق با اثرات داروی استاندارد سیلیمارین در این زمینه برابر نموده و قابل مقایسه بود. همچنین با توجه به نتایج به دست آمده، اثرات مفید سیاهدانه را می‌توان به خواص آنتی‌اکسیدانی ترکیبات موجود در عصاره و کاهش استرس‌های اکسیداتیو مرتبط دانست. در نهایت، پیشنهاد می‌گردد بعد از انجام کارآزمایی‌های بالینی تصادفی، عصاره سیاهدانه جهت پیشگیری از آسیب‌های جبران‌ناپذیر کبد، متعاقب مصرف داروی ریفامپین مورد استفاده قرار گیرد. در هر صورت، شناخت دقیق ماده یا مواد مؤثر اصلی این عصاره، تعیین دقیق مکان و مکانیسم یا مکانیسم‌های مؤثر در عملکرد فارماکولوژیکی آن در این مورد نیاز به مطالعات گسترش‌تری دارد.

### تشکر و قدردانی

این مقاله حاصل طرح تحقیقاتی (به شماره ۱۳/۱۱/۵-۲۷۳۶۹ مورخه: ۹۲/۶/۲۰) که با بودجه پژوهشی و حمایت مالی دانشگاه آزاد اسلامی واحد تبریز به انجام رسیده است، می‌باشد. بدین وسیله از معاونت پژوهشی دانشگاه آزاد اسلامی، واحد تبریز تشکر و قدردانی می‌گردد.

فعالیت در کبد و گویچه‌های قرمز می‌باشد. کاتالاز پراکسید هیدروژن را تجزیه کرده و باعث محافظت بافت‌ها از رادیکال‌های بسیار فعال هیدروکسیل می‌شود (۴۱). بنابراین، کاهش فعالیت کاتالاز ممکن است منجر به برخی اثرات مخرب ناشی از رادیکال‌های سوپراکسید و پراکسید هیدروژن گردد. گلوتاتیون ردوکتاز یک آنزیم سیتوزولی در سلول‌های کبدی است که در کاهش گلوتاتیون اکسید (GSSG)، به عنوان محصول نهایی فعالیت گلوتاتیون پراکسیداز بر گلوتاتیون احیا (GSH) دخالت دارد (۳۷). در مطالعه حاضر متعاقب مصرف ریفامپین، کاهش قابل توجهی در فعالیت گلوتاتیون پراکسیداز کبد حاصل شد که این امر می‌تواند منجر به دسترسی گلوتاتیون ردوکتاز به سوبسترا شده و بدین ترتیب فعالیت گلوتاتیون ردوکتاز کاهش یابد. مصرف عصاره سیاهدانه در کنار ریفامپین فعالیت گلوتاتیون ردوکتاز را مجدداً برقرار می‌سازد که مصرف گلوتاتیون اکسید جهت تشکیل گلوتاتیون احیا و افزایش سم‌زدایی متابولیت‌های فعال به وسیله کونژوگاسیون با گلوتاتیون احیا برقرار می‌شود. نتایج مطالعه حاضر، گزارش سایر محققین را در خصوص اثرات آنتی‌اکسیدانی سیاهدانه و پاکسازی رادیکال آزاد به وسیله این عصاره تأیید می‌کند (۴۲، ۴۳). همچنین نتایج به دست آمده از مطالعه حاضر در مورد اثرات آنتی‌اکسیدانی سیلیمارین نیز با یافته‌های دیگران مطابقت دارد (۴۴، ۴۵). بنابراین، به جرأت می‌توان گفت که خصوصیت آنتی‌اکسیدانی داروی سیلیمارین در گروه شاهد مثبت باعث جبران فعالیت آنزیم‌های آنتی‌اکسیدانی شده است. در هر صورت، نتیجه مهم مطالعه حاضر این بود که بین عصاره سیاهدانه و داروی سیلیمارین از لحاظ تأثیر بر فعالیت

### References:

1. Rebecca T. Hepatoprotection via the IL-6/Stat3 pathway. *J Clin Invest* 2003;112(7):978-80.
2. Gajalakshmi V, Peto R, Kanaka TS, Jha P. Smoking and mortality from tuberculosis and other diseases in India: Retrospective study of 43000 adult male deaths and 35000 controls. *Lancet* 2003;362(9383):507-15.
3. Parthasarathy R, Sarma GR, Janardhanam B, Ramachandran P, Santha T, Sivasubramanian S, et al. Hepatic toxicity in South Indian patients during treatment of tuberculosis with short-course regimens containing isoniazid, rifampicin and pyrazinamide. *Tubercl* 1986;67(2):99-108.

4. Steel MA, Burk RF, Desprez RM. Toxic hepatitis with isoniazid and rifampin. A meta-analysis. *Chest* 1991; 99(2):465-71.
5. Bachs L, Parés A, Elena M, Piera C, Rodés J. Effects of long-term rifampicin administration in primary biliary cirrhosis. *Gastroenterology* 1992 Jun;102(6):2077-80.
6. Sodhi CP, Rana SF, Attri S, Mehta S, Yaipei K, Mehta SK. Oxidative-hepatic injury of isoniazid-rifampicin in young rats subjected to protein and energy malnutrition. *Drug ChemToxicol* 1998 Aug;21(3):305-17.
7. Rafieian-Kopaei M, Baradaran A. Plants antioxidants: From laboratory to clinic. *J Nephropathol* 2013;2(2):152-3.
8. Suresh RN, Vandana SP. Hepatoprotective effect of Ginkgoselect Phytosome® in rifampicin induced liver injury in rats: Evidence of antioxidant activity. *Fitoterapia* 2008;79(6):439-45.
9. Ali BH, Blunden G. Pharmacological and toxicological properties of *Nigella sativa*. *Phytother Res* 2003;17(4):299-305.
10. Kanter M, Coskun O, Budancamanak M. Hepatoprotective effects of *Nigella sativa* L and *Urtica dioica* L on lipid peroxidation, antioxidant enzyme systems and liver enzymes in carbon tetrachloride-treated rats. *World J Gastroenterol* 2005;11(42):6684-8.
11. Al-Ghamdi MS. The anti-inflammatory, analgesic and antipyretic activity of *Nigella sativa*. *J Ethnopharmacol* 2001;76(1):45-8.
12. Al-Johar D, Shinwari N, Arif J, Al-Sanea N, Jabbar AA, El-Sayed R, et al. Role of *Nigella sativa* and a number of its antioxidant constituents towards azoxymethane-induced genotoxic effects and colon cancer in rats. *Phytother Res* 2008;22(10):1311-23.
13. Houghton PJ, Zarka R, De las Heras B, Hoult JRS. Fixed oil of *Nigella sativa* and derived thymoquinone inhibit eicosanoid generation in leukocytes and membrane lipid peroxidation. *Planta Med* 1995;61(1):33-6.
14. Burits M, Bucar F. Antioxidant activity of *Nigella sativa* essential oil. *Phytother Res* 2000;14(5):323-8.
15. Pellikan EW. Toxicity in chemotherapy. In: Schmitzer RJ, Hawking F, editors. *Experimental Chemotherapy*. New York: Academic Press; 1963. p. 25.
16. Reitman S, Frankel S. A colorimetric method for the determination of serum glutamic oxaloacetic and glutamic pyruvic transaminase. *Am J Clin Pathol* 1957;28(1):56-63.
17. Kind PR, King EJ. Estimation of plasma phosphates by determination of hydrolyzed phenol with antipyrin. *J Clin Pathol* 1954;7(4):322-6.
18. Lowry OH, Rosebrough NJ, Farr AL, Randall RJ. Protein measurement with the Folin phenol reagent. *J Biol Chem* 1951;193(1):265-75.
19. Malloy HT, Evelyn KA. The determination of bilirubin level with the photoelectric colorimeter. *J Biol Chem* 1937;119(2):481-4.
20. Fraga CG, Leibovitz BE, Tappel AL. Lipid peroxidation measured as thiobarbituric acid-reactive substances in tissue slices: Characterization and comparison with homogenates and microsomes. *Free Radic Biol Med* 1988;4(3):155-61.

21. Nishikimi M, Appaji N, Yagi K. The occurrence of superoxide anion in the reaction of reduced phenazine methosulfate and molecular oxygen. *Biochem Biophys Res Commun* 1972;46(2):849-54.
22. Claiborne A. Catalase activity. In: Boca Raton FL, editor. CRC Handbook of methods for oxygen radical research. Florida: CRC Press, Boca Raton; 1985. p. 283-4.
23. Rotruck JT, Pope AL, Ganther HE, Swanson AB, Hafeman DG, Hoekstra WG. Selenium: biochemical role as a component of glutathione peroxidase. *Science* 1973;179(73):588-90.
24. Mohandas J, Marshall JJ, Duggin GG, Horvath JS, Tiller DJ. Low activities of glutathione-related enzymes as factors in the genesis of urinary bladder cancer. *Cancer Res* 1984;44(11):5086-91.
25. Lee G, Luna HT. Manual of histologic staining methods of the armed forces institute of pathology. 3<sup>rd</sup> ed. New York: The Blakiston Division, McGraw-Hill Book Company; 1988. p. 32-107.
26. Kart A, Cigremis Y, Karaman M, Ozen H. Caffeic acid phenethyl ester (CAPE) ameliorates cisplatin-induced hepatotoxicity in rabbit. *Exp Toxicol Pathol* 2010;62(1):45-52.
27. Santhosh S, Sini TK, Anandan R, Mathew PT. Hepatoprotective activity of chitosan against isoniazid and rifampicin-induced toxicity in experimental rats. *Eur J Pharmacol* 2007;572(1):69-73.
28. Tasduq SA, Peerzada K, Koul S, Bhat R, Johri RK. Biochemical manifestations of anti-tuberculosis drugs induced hepatotoxicity and the effect of silymarin. *Hepatol Res* 2005;31(3):132-5.
29. Drotman R, Lawhan G. Serum enzymes are indications of chemical induced liver damage. *Drug Chem Toxicol* 1978;1(2):163-71.
30. Muriel P, Garciapiña T, Perez-Alvarez V, Mourelle M. Silymarin protects against paracetamol-induced lipid peroxidation and liver damage. *J Appl Toxicol* 1992;12(6):439-42.
31. Thabrew MI, Joice PD, Rajatissa, W. A comparative study of the efficacy of Pavetta indica and Osbeckia octanda in the treatment of liver dysfunction. *Planta Med* 1987;53(3):239-41.
32. Cullen JM. Liver, Biliary system, and Exocrine pancreas. In: McGavin MD, Zachary JF, editors. Pathologic basis of veterinary disease. 4<sup>th</sup> ed. London: Mosby; 2007. p. 403-6.
33. Tandon VR, Khajuria V, Kapoor B. Hepatoprotective activity of Vitex negundo leaf extract against anti-tubercular drugs induced hepatotoxicity. *Fitoterapia* 2008;79(7-8):533-8.
34. Powell-Jackson PR, Tredger JM, Smith HM, Davis M, Williams R. Effect of isoniazid administration on selected rat and mouse hepatic microsomal mixed-function oxidases and in vitro [14C] acetylhydrazine-derived covalent binding. *Biochem Pharmacol* 1982;31(24):4031-4.
35. Georgieva N, Gadjeva V, Tolekova A. New isonicotinoylhydrazones with SSA protect against oxidative-hepatic injury of isoniazid. *Trakia Jsci* 2004;2(1):37-43.
36. Attri S, Rana SV, Vaiphei K, Sodhi CP, Kaytal R, Goel RC, et al. Isoniazid and rifampicin induced oxidative hepatic injury protection by N-acetylcysteine. *Hum Exp Toxicol* 2000;19(9):517-22.
37. Naik SR. Antioxidants and their role in biological functions: An overview. *Indian Drugs* 2003;40(9):501-16.

38. Lil JL, Stantman FW, Lardy HA. Antioxidant enzyme systems in rat liver and skeletal muscle. *Arch Biochem Biophys* 1988;263(1):150-6.
39. Wendel A, Jaeschke H, Gloger M. Drug-induced lipid peroxidation in mice--II. Protection against paracetamol-induced liver necrosis by intravenous liposomally entrapped glutathione. *Biochem Pharmacol* 1982;31(22):3601-5.
40. Curtis SJ, Mortiz M, Sondgrass PJ. Serum enzyme derived from liver cell fractions. The response of carbon tetrachloride intoxication in rats. *Gastroenterology* 1972;62(1):84-92.
41. Chance B, Greenstein DS, Roughton RJW. The mechanism of catalase action. 1. Steady-state analysis. *Arch Biochem Biophys* 1952;37(2):301-21.
42. Nagi MN, Alam K, Badary OA, al-Shabanah OA, al-Sawaf HA, al-Bekairi AM. Thymoquinone protects against carbon tetrachloride hepatotoxicity in mice via an antioxidant mechanism. *Biochem Mol Biol Int* 1999;47(1):153-9.
43. Beckstrom Sternberg SM, Duke JA. Potential for synergistic action of phytochemicals in spices. In: *Spices herbs and edible fungi*. Oxford: Elsevier Science; 1994. p. 201-23.
44. Kabiri N, Ahangar-Darabi M, Setorki M, Rafieian-kopaei M. The effect of silymarin on liver injury induced by Thioacetamide in rats. *J Herb Med Pharmacol* 2013;2(2):29-33.
45. Pradeep K, Mohan CVR, Gobianand K, Karthikeyan S. Silymarin modulates the oxidant–antioxidant imbalance during diethylnitrosamine induced oxidative stress in rats. *Euro J Pharmacol* 2007;560(2-3):110-6.